

УДК 621.396.967; 621.396.969.14; 629.7.05

# УНИФИЦИРОВАННЫЙ МЕТОД АДАПТИВНО-РОБАСТНОЙ РЕДУКЦИИ НЕОПРЕДЕЛЕННОСТЕЙ ПРИ РАСКРЫТИИ «СЛЕПЫХ» ЗОН И ДАЛЬНОМЕТРИИ ВОЗДУШНЫХ ОБЪЕКТОВ В ИМПУЛЬСНО-ДОПЛЕРОВСКИХ РАДАРАХ

DOI: 10.31799/2077-5687-2021-4-42-48

# В. Н. Коврегин, Г.М. Коврегина

Санкт-Петербургский государственный университет аэрокосмического приборостроения

Предложен и исследован единый метод раскрытия слепых дальностей, снижения или устранения неоднозначности измерения, позволяющий в рамках типового сеанса дальнего обнаружения воздушного объекта импульсно-доплеровским радаром сократить временные затраты, расширить информативность, унифицировать технологию алгоритмического обеспечения сеанса обнаружения. В основе: унифицированные адаптивно-робастные процедуры управления излучением (гарантирующие наблюдаемость объекта) и обработки неоднозначных квазиизмерений дальности (при отсутствии обнаружения) и реального измерения (при первоначальном обнаружении).

Ключевые слова: импульсно-доплеровский радар; высокая частота повторения импульсов; слепые дальности; адаптация параметров излучения; квазиизмерение, минимизация времени, оценка дальности

#### Для цитирования:

Коврегин В. Н., Коврегина Г. М. Унифицированный метод адаптивно-робастной редукции неопределенностей при раскрытии «слепых» зон и дальнометрии воздушных объектов в импульсно-доплеровских радарах // Системный анализ и логистика: журнал.: выпуск №4(30), ISSN 2007-5687. — СПб.: ГУАП., 2021 - c. 42-48. РИНЦ. DOI: 10.31799/2077-5687-2021-4-42-48.

# UNIFIED METHOD OF ADAPTIVE-ROBUST REDUCTION OF UNCERTAINTIES IN THE ELIMINATION OF BLIND SPOTS AND RANGING OF AIR OBJECTS IN PULSE-DOPPLER RADARS

#### V. N. Kovregin, G. M. Kovregina

St. Petersburg State University of Aerospace Instrumentation

A unified method of disclosing blind ranges, reducing or eliminating measurement ambiguity has been proposed and investigated, which allows, within the framework of a typical long-range detection session of an air object by a pulse-Doppler radar, to reduce time costs, expand information content, and unify algorithmic support of a detection session. At the heart of: unified adaptive-robust procedures for controlling radiation parameters (guaranteeing the observability of an object) and processing ambiguous quasi-measurements of range (in absence of detection) and real measurement (in initial detection).

Key words: pulse-Doppler radar; high pulse repetition rate; blind range; adaptation of radiation parameters; quasi-measurement, time minimization, range estimation

#### For citation:

Kovregin V. N., Kovregina G. M. Unified method of adaptive-robust reduction of uncertainties in the elimination of blind spots and ranging of air objects in pulse-doppler radars // System analysis and logistics.: N2(30), ISSN2007-5687. – Russia, Saint-Petersburg.: SUAI., 2021 – p.42-48. DOI: 10.31799/2077-5687-2021-4-42-48.

#### Введение

В настоящее время широкий класс задач обзора воздушного пространства в интересах управления воздушным движением, повышения безопасности полетов, предотвращения несанкционированного проникновения и других приложений решается с использованием импульсно-доплеровских РЛС. В таких радарах с большой дальностью обнаружения в режиме высокой частоты повторения импульсов (ВЧПИ)  $F_r$  типичная циклограмма работы в заданном направлении излучения включает этапы [1]: обнаружения; измерения траекторных параметров (захвата); сопровождения воздушного объекта (ВО). В сеансе обнаружения традиционно решаются задачи: раскрытия слепых дальностей [1,2]; измерения радиолокационных параметров обнаруженного объекта, а именно: доплеровской частоты  $F_D$ , однозначно связанной со скоростью сближения  $V_R$ =0.5 $\lambda F_D$ , где  $\lambda$  – длина волны; задержки



эхо-сигнала объекта  $\tau_{ASD}$  относительно начала излучения в периоде повторения импульсов (ППИ)  $T_r=1/F_r$ , неоднозначно связанной с дальностью  $R_{r(j)}=0.5c$  [ $r_{(j)}$   $T_r+\tau_{ASD}$ ], где  $r_{(j)}=0,1,...$ - априорно неизвестный индекс  $\Pi\Pi H$ , c — скорость распространения радиоволны. Раскрытие слепых дальностей традиционно осуществляется при излучении серии из  $N_{Tr}$  пачек импульсов с разными значениями ППИ, где  $N_{Tr}$  и  $T_{r(k)}$  ( $k=2,...,N_{Tr}$ ) рассчитываются априорно с учетом максимальной дальности обнаружения и ширины слепой зоны в ППИ. В широком диапазоне дальностей обнаружения, например, [300 м; 100 км] требуется  $N_{Tr} \ge 5$  [1], а на следующем этапе – при захвате по дальности на основе традиционного перебора ППИ [1, 2] – требуется не менее (8...10) пачек импульсов. В ряде практических приложений режима ВЧПИ с длительным когерентным накоплением сигнала суммарные временные затраты на обнаружение/захват являются неприемлемыми. В целом для этих этапов актуальна проблема достижения требуемого уровня оперативности. Одним из направлений минимизации времени захвата является применение адаптивно-робастных процедур управления ППИ при обработки неоднозначных измерений [3,4], которые предполагают пошаговое сужение диапазона возможных дальностей объекта на момент обнаружения объекта  $[R_{min\ (0)};\ R_{max\ (0)}]$  до редуцированного интервала  $[R_{min\ (i)};\ R_{max\ (i)}]$  с индексным диапазоном  $[r_{min\ (i)}; r_{max\ (i)}]$ . Этот диапазон формируется по оценкам отношения наблюдаемого смещения задержки сигнала  $\Delta \tau_{ASD}$  (i/i-1) =  $\tau_{ASD}$  (i) -  $\tau_{ASD}$  (i-1) к допустимому максимуму приращения ППИ  $\Delta T_{r(i/i-1)}$ , вызвавшего это смещение. В результате нескольких итераций этот диапазон вырождается, т. е. сходится к значениям  $r_{min\ (j)} = r_{(j)} = r_{max\ (j)}$ , причем темп сходимости существенно зависит от ширины исходного диапазона [ $R_{min\ (0)}$ ;  $R_{max\ (0)}$ ]. После типового сеанса обнаружения неопределенность объекта по дальности сохраняется в диапазоне от сотен м до максимальной дальности обнаружения (>100 км).

Прагматическая цель данной работы одновременно состоит: в минимизации затрат времени (количества пачек) на сеанс обнаружения с раскрытием слепых зон в широком диапазоне дальностей; в расширении информативности сеанса — в аспекте существенного снижения или устранения неопределенности объекта по дальности для повышения темпа сходимости на этапе захвата или исключения этого этапа из циклограммы работы.

Научная цель – разработка и исследование унифицированного метода, совмещающего в рамках сеанса обнаружения функции «ускоренного» раскрытия слепых дальностей и дальнометрии обнаруженного объекта. В основе метода: опциональное расширение функциональных возможностей адаптивно-робастных процедур управления излучением и обработки измерений, традиционно используемых при захвате [3,4], для их применения в задачах раскрытия слепых зон, редукции или полного устранения неопределенности объекта по дальности на основе квазинаблюдений и одного реального измерения.

# Постановка задачи

Рассматривается радар с типовыми параметрами излучения, приема и обработки сигналов в режиме ВЧПИ, например:  $T_r = (10...15)$  мкс; дискрет ППИ  $\delta T_r = (1/120)... (1/240)$  мкс; длительность импульса  $\tau_{ppd} = (0,5...1)$  мкс; коэффициент заполняемости (1/Q) при Q $\geq$ 10; время закрытия приемника  $t_{cl\ start}$  и  $t_{cl\ end}$  до и после импульса  $t_{cl\ start} = t_{cl\ end} = t_{cl} = (0,1...0,15)$  мкс; общая ширина слепой зоны в ППИ  $T_{BZ} = \tau_{ppd} + 2t_{cl\ start}$ ;  $\lambda$ =0,03 м; количество импульсов в пачке 1024...4096; временной дискрет дальности в ППИ  $\delta \tau = \tau_{ppd} / (1...4)$ .

Объект присутствует в зондируемом пространстве на расстояниях в диапазоне [ $R_{min}$  (0);  $R_{max}$  (0)], где  $R_{min}$  (0) = 0,5 c ( $\tau_{ppd}$  +  $t_{cl}$ ) и  $R_{max}$  (0)  $\approx$  100 км). Считается, что при нахождении задержки эхо-сигнала объекта в рабочей зоне ППИ (только на фоне шумов приемника) превышение порога обнаружения потенциально обеспечивается. В этом случае формируются точечные оценки  $\tau_{ASD}$  и  $F_D$ , например, по центрам дискретов временных и частотных измерений, определяются расчетные дисперсии ошибок оценивания  $D_{\tau ASD}$  и  $D_{FD}$  (с учетом отношения сигнал/шум, шумов дискретизации и квантования [5]). При этом задача этапа обнаружения в традиционном понимании считается решенной.



Рассматривается ситуация, когда при излучении пачки с ППИ  $T_{r(0)}$  объект находится в одной из слепых полос шириной

$$\Delta R_{BR} = (c/2)T_{BZ},\tag{1}$$

расположенных на кратных длительности ППИ расстояниях в интервале  $[R_{min\ (0)};\ R_{max}_{(0)}]$  с соответствующим индексным диапазоном

$$[r_{min(0)}=1; r_{max(0)}=int\{(2/cT_{r(0)}) R_{max(0)}\}],$$
(2)

где  $int\{.\}$  — операция взятия целой части числа.

Требуется при минимальном количестве пачек импульсов на этапе обнаружения при заданном диапазоне дальности обнаружения обеспечить: гарантированную наблюдаемость неоднозначной задержки эхо-сигнала объекта в рабочей зоне  $[(\tau_{ppd} + t_{cl}); (T_r(i) - t_{cl})]$  для ППИ  $T_r(i)$  ( $i \ge 1$ ) при исходной ситуации, когда объект не обнаружен по начальной пачке с ППИ  $T_r(0)$  вследствие его нахождения на слепой дальности; оценку текущей дальности (точечную R(i) и интервальную  $[R_{min}(i);R_{max}(i)]$ ) на основе однократного измерения неоднозначной задержки сигнала, выполненного на момент первоначального обнаружения объекта.

# Подход к решению и метод

Значение ППИ для начальной пачки в сеансе обнаружения

$$T_r(0) = round \{T_r/\delta T_r\}\delta T_r, \tag{3}$$

где  $round\{.\}$  — операция округления к ближайшему целому,  $T_{r}$   $min \le Tr(i) \le Tr$  max при заданных ограничениях по минимуму  $T_{r}$  min и максимуму  $T_{r}$  max. Назначение  $T_{r}$  и других параметров излучения, в общем случае, может основываться на многокритериальной оптимизации, вопросы которой в рамках данной статьи не рассматриваются.

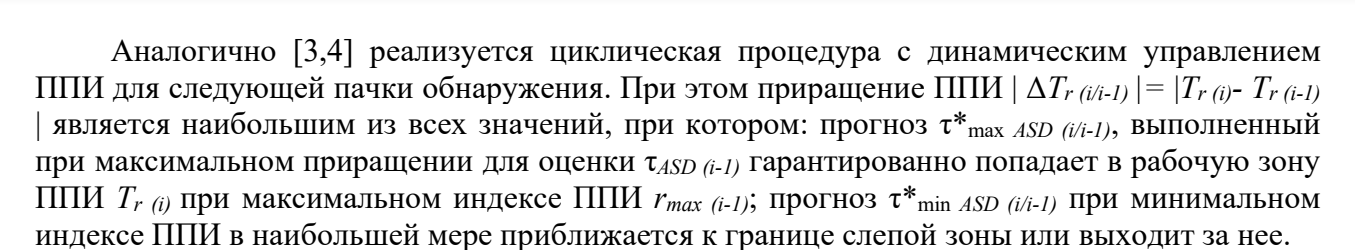
Как исходное принимается случайное значение  $T_r$ , полученное путем рандомизации на интервале [ $T_{r \ min}$ ;  $T_{r \ max}$ ], что целесообразно в аспекте инвариантности решения поставленной задачи, а также может иметь практическое значение, например, для повышения помехозащищенности радара. В рассматриваемом случае, при гипотезе о наличии объекта, отсутствие обнаружения при  $T_{r \ (0)}$  эквивалентно информации о нахождении объекта в слепой зоне  $T_{BZ}$ , которая в свою очередь, понимается как неоднозначное «квазиизмерение» (или «инверсное наблюдение») задержки сигнала. Оно менее точное и менее информативное в сравнении с частотно-временным измерением, доступным при реальном превышении порога обнаружения в рабочей зоне ППИ при известном отношении «сигнал/шум».

Положение реальной дальности объекта в слепых диапазонах с шириной  $\Delta R_{BR} = (c/2)$   $T_{BZ}$  является случайным. Предполагая равномерное распределение плотности вероятности [5, 6], оценками математического ожидания  $\tau_{ASD}$  (0) и дисперсии  $D_{\tau ASD}$  (0) для задержки эхосигнала в ППИ считаются значения:

$$\tau_{ASD (0)} = 0.5 T_{BZ} - t_{cl} \text{ if } D_{\tau ASD (0)} \approx \{ (T_{BZ})^2 / 12 \} + \{ \delta \tau^2 / q_0 \}, \tag{4}$$

где  $q_0$  — отношение сигнал/шум по амплитуде, которое для квазиизмерения непосредственно неизвестно, но: приближенно вычисляется при заданном пороге обнаружения и уровне шумов, определяемых при обработке сигналов по дискретам в рабочей зоне ППИ; может корректироваться с учетом отношения сигнал/шум, наблюдаемого в следующей пачке в случае обнаружения сигнала объекта (превышения порога).

При использовании понятия «неоднозначное квазиизмерение» и его оценок  $\tau_{ASD}$  (0),  $D_{\tau ASD}$  (0) и при априорной информации в виде  $[R_{min}$  (0);  $R_{max}$  (0)],  $[r_{min}$  (0);  $r_{max}$  (0)] задача раскрытия слепых дальностей и дальнометрии в момент обнаружения объекта, по сути, сводится к постановке задач адаптивно-робастного захвата/сопровождения объекта по дальности и аналогичным способам решения [3,4]. Основные отличия состоят только в том, что: управление наблюдением (положением задержки эхо-сигнала в ППИ  $T_{r}$  (i)) осуществляется не на основе анализа реального измерения задержки, а исходя из положения и параметров квазиизмерения; при дальнометрии используется не два (как минимум) реальных измерения, а только одно, в совокупности с квазиизмерениями.



Если при приращении  $|\Delta T_{r(i/i-l)}| < T_{BZ}$  сигнал объекта в рабочей зоне ППИ не обнаружен, считается, что он все еще находится в слепой зоне  $T_{BZ}$ , но при этом неопределенность объекта по дальности значительно редуцируется. Ширина диапазона индексов  $[r_{min\ (i)}; r_{max\ (i)}]$  при этом определяется отношением  $(T_{BZ}/|\Delta T_{r\ (i/i-l)}|)$ . На каждой итерации по мере увеличения приращения ППИ диапазон индексов продолжает резко сокращаться и в итоге вырождается при приращении  $|\Delta T_{r(j/i-l)}| \ge T_{BZ}$ . В этом случае все слепые дальности, кроме  $[0;\ 0.5c\ (t_{cl}+\tau_{ppd})]$  м, являются раскрытыми и если сигнал объекта не выявлен, то сеанс обнаружения завершается принятием решения об отсутствии объекта в зондируемом пространстве.

Если объект обнаружен, то с использованием оценок по текущим частотно-временным измерениям ( $\tau_{ASD\ (i)}$ ,  $F_{D\ (i)}$ ,  $D_{\tau ASD\ (i)}$ ,  $D_{FD\ (i)}$ ) при  $T_{r\ (i)}$  и  $q_{0(i)}$ , а также оценок по квазиизмерениям ( $\tau_{ASD\ (k)}$ ,  $D_{\tau ASD\ (k)}$ ) при  $T_{r\ (k)}$ ,  $0 \le k < i$ , выполняются следующие процедуры дальнометрии объекта в рамках сеанса обнаружения.

Из всех реализованных приращений  $\Delta T_{r(i/k)}$  выбирается наибольшее.

Коррекция  $\tau_{ASD~(k)},~D_{\tau ASD~(k)}$  с учетом смещения при скорости  $V_{R(i)}=V_{R(k)}=0.5\lambda F_{D(i)}$  на интервале времени  $\Delta t_{i/k}$  между пачками и текущего отношения сигнал/шум:

$$\tau_{ASD (i/k)} = \tau_{ASD (k)} - 2(V_{R(i)} \Delta t_{i/k})/c; \tag{5}$$

$$D_{\tau ASD (i/k)} = D_{\tau ASD (k)} + \{ (\Delta \hat{f}^2/12) + (\lambda^2/4T_{sb} q_{0(i)}) \} (\Delta t_{i/k} \lambda/c)^2,$$
 (6)

где  $\Delta f$  — ширина доплеровского фильтра;  $T_{sb}$  — длительность пачки импульсов при ППИ  $T_{r(i)}$ 

Оценка дальности при известных параметрах  $\Delta r_{(i/k)} = r_{(i)} - r_{(k)}$  и  $\Delta T_{r_{(i/k)}}$ :

$$r_{(k)} = int \left\{ \left( \tau_{ASD (i/k)} - \tau_{ASD (i)} - \Delta r_{(i/k)} T_{r (k)} \right) / \Delta T_{r (i/k)} \right\}; \tag{7}$$

$$r_i = r_{(k)} + \Delta r_{(i/k)}; R_{(i)} = 0.5 \ c \ (r_i \ T_{r(i)} + \tau_{ASD(i)}).$$
 (8)

Определение среднеквадратического отклонения  $\sigma_{r(k)}$  для ошибок оценивания индекса ППИ и доверительного интервала для индексов ППИ:

$$\sigma_{r(k)} = round \{ [(D_{\tau ASD (i/k)} + D_{\tau ASD (i)}) / (\Delta T_{r (i/i-1)})^2]^{1/2} \};$$
(9)

$$[r_{\min(k)} = r_{(k)} - 3\sigma_{r(k)}; r_{\max(k)} + 3\sigma_{r(k)}], \tag{10}$$

где  $round\{.\}$ - операция округления к ближайшему целому.

Для оценки  $\tau_{ASD~(i/k)}$  по квазиизмерению при известных  $\Delta r_{(i/k)}$ ,  $\Delta T_{r~(i/k)}$ ,  $T_{r~(k)}$  формируются множества прогнозных значений и их отклонений от оценки по реальному измерения:

$$\{\tau_{ASD j (i/k)} = \tau_{ASD (i/k)} - \Delta r_{(i/k)} T_{r (k)} - r_{j (k)} \Delta T_{r (i/k)}\}$$
(11)

И

$$\{v_j = \tau_{ASD j (i/k)} - \tau_{ASD (i)}\}$$
(12)

Выбор значения  $|v_J| = \min \{|v_J|\}$ , уточнение индекса ППИ в виде  $r_{(k)} = J$  и определение дальности, минимальной и максимальной дальности объекта по соотношениям:

$$r_{i} = r_{(k)} + \Delta r_{(i/k)};$$

$$R_{(i)} = 0.5 \ c \ [r_{(i)} \ T_{r_{(i)}} + \tau_{ASD(i)}];$$

$$r_{min (i)} = (r_{(k)} - 3\sigma_{r(k)}) + \Delta r_{(i/k)};$$

$$R_{min (i)} = 0.5 \ c \ [r_{min (i)} \ T_{r_{(i)}} + \tau_{ASD(i)}];$$

$$r_{max (i)} = (r_{(k)} + 3\sigma_{r(k)}) + \Delta r_{(i/k)};$$

$$R_{max (i)} = 0.5 \ c \ [r_{max (i)} \ T_{r_{(i)}} + \tau_{ASD(i)}].$$



# Моделирование и анализ

На сквозной имитационной модели излучения, приема и обработки сигнала в импульсно-доплеровском радаре исследовались два положения объекта при излучения начальной пачки ( $T_{r(0)}$ =14 мкс,  $\delta T_r$ =1/240 мкс):

- I в ближней слепой зоне при  $r_{(0)}$ =1 на расстоянии 2100 м;
- 2 в дальней слепой зоне при  $r_{(0)}$ =49 на 105000 м.

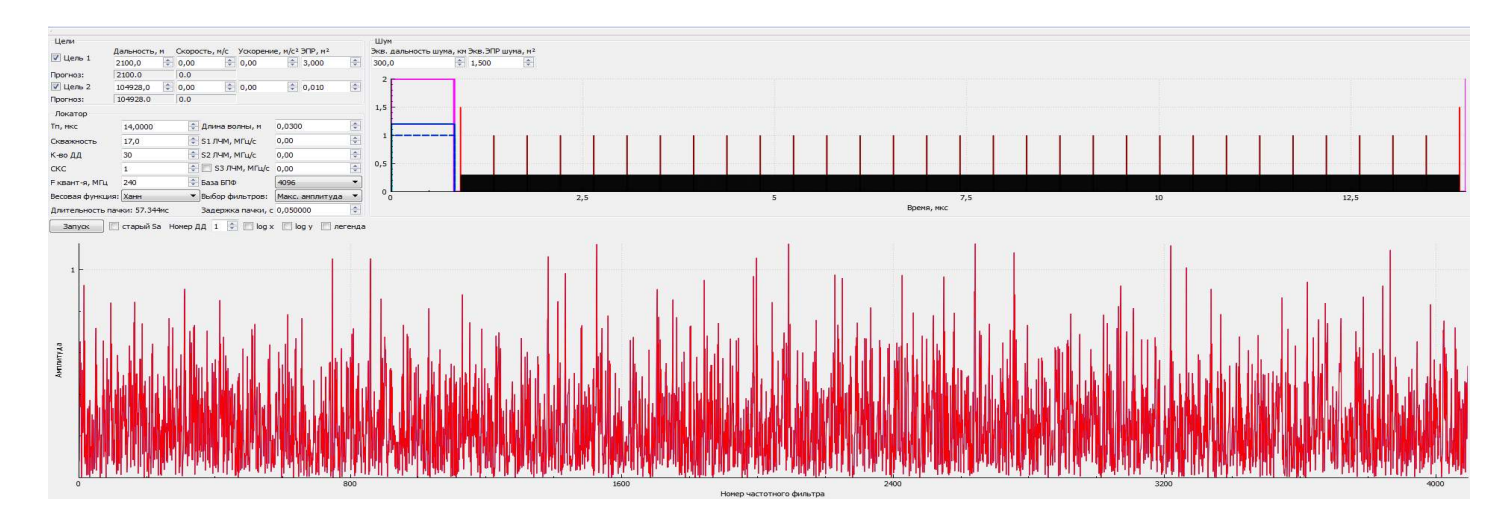


Рис. 1. Ненаблюдаемая задержка сигналов объекта в ближней и дальней слепой зоне при ППИ 14 мкс и частоты (шумы приемника) в каждом дискрете рабочей зоны ППИ



Рис. 2. Положение задержки сигнала, смещенного из ближней и дальней слепой зоны при ППИ 13,75 мкс (приращение  $\Delta T_{r\,(i/i-l)}$  = - 0,25 мкс)

При этих и других расстояниях, кратных ППИ (1  $< r_{(0)} < 49$ ), положения задержки эхосигнала в ППИ (рис.1) практически исключают возможность обнаружения. На следующей пачке (рис.2) максимальное приращение  $\Delta T_{r\ (i/i-1)} = -0.25$  мкс,  $T_{r\ (i)} = 13,75$  мкс. При этом гарантированное обнаружение объекта в ближних зонах не обеспечивается, но значительно деградирует неопределенность по дальности объекта, т. к. удаленность нераскрытых слепых зон ограничивается уже существенно редуцированным диапазоном индексов ППИ:

$$[r_{min (i-1)} = 1;$$
  
 $r_{max (i-1)} = 1 + round \{T_{BZ} / |\Delta T_{r (i/i-1)}|\} = 4],$ 

что при  $T_{BZ}\approx 0.825$  мкс и  ${\rm Tr}_{(i)}=13.75$  мкс соответствует зонам на удалениях  $\approx (2065...8250$  максимально удаленную, раскрыты. Если обнаружение не произошло, то принимается гипотеза о нахождении объекта в ближних зонах при  $r_{(i)} \le 4$ .

На рис. 3 показано положение сигнала объекта при адаптации ППИ для редуцированного диапазона индексов ППИ [1;4]. При этом  $T_{r(i+1)} = 11.2$  мкс, приращения ППИ:  $\Delta T_{r(i+1/i)} = -2.45$  мкс;  $\Delta T_{r(i+1/i-1)} = -2.8$  мкс. Видно, что рассматриваемые ближние слепые



зоны гарантированно раскрываются, объект наблюдаем и при соответствующей сигнальношумовой обстановке будет обнаружен. Если во всех рассмотренных ситуациях (рис. 1, 2, 3) не было обнаружения, то считается, что в зондируемом пространстве объект отсутствует и сеанс обнаружения завершается. В том случае, если произошло обнаружение/частотновременное измерение в удаленной (см. рис.2) или ближней (рис.3) наблюдаемой зоне, то реализуется описанная выше процедура дальнометрии по реальным  $\tau_{ASD~(i)k}$  и гипотетическим  $\tau_{ASD~(i)k}$  измерениям задержки сигнала. При моделируемых типовых параметрах ( $\tau_{ppd} \approx 0,625$  мкс,  $\delta \tau = \tau_{ppd}/2$ ,  $t_{cl} \approx 0,1$  мкс,  $T_{BZ} \approx 0,825$  мкс) среднеквадратическое отклонение (СКО)  $\sigma_{vi}$  для разностей прогноза и измерения задержки  $v_i = (\tau_{ASD~(i/k)} - \tau_{ASD~(i)})$ , в общем случае, составляет  $\approx 0,25467$  мкс. При доверительной вероятности  $P \approx 0,9973$  на уровне трех СКО диапазон ошибок определения индекса ППИ составляет  $\pm round$   $\{3\sigma_{vi}/|\Delta T_{r~(i/k)}|\}$ : в дальней зоне (при  $4 < r_{(0)} \le 49$ ,  $\Delta T_{r~(1/0)} = -0,25$  мкс) это  $\pm 3$ ; в ближней зоне (при  $r_{(0)} \le 4$ ,  $\Delta T_{r~(2/0)} = -2,8$  мкс) индекс ППИ определяется точно, а максимальная ошибка определения дальности объекта при этом превышает 50 м.

На рис. 3 также показаны дальномерные частоты и результаты дальнометрии по сигналам с инвертируемой линейной частотной модуляцией (ЛЧМ), выполненной в ближней зоне ( $r_{(0)}$ =4) и показавшей близкие по точности результаты [7].

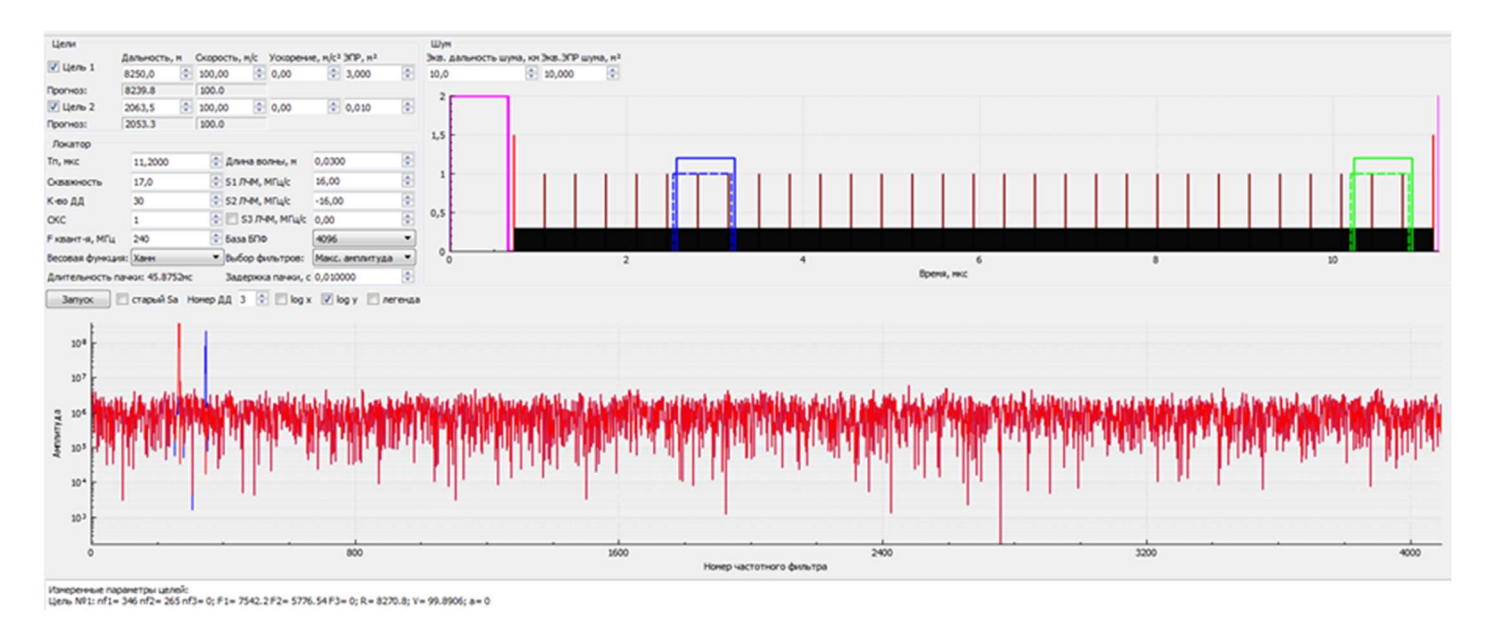


Рис. 3. Положение задержки сигнала, смещенного из ближних слепых зон при ППИ 11,2 мкс (приращения  $\Delta T_{r(i/i-l)} =$  -2.45 мкс и  $\Delta T_{r(i+l/i-l)} =$  -2.8 мкс)

## Заключение

Разработанный метод адаптивно-робастное редукции неопределенностей по дальности на этапе поиска/обнаружения объекта позволяет в рамках этого этапа совместить решение задач раскрытия слепых дальностей и снижения/устранения неоднозначности измерения, полученного при первоначальном обнаружении объекта. Метод эффективен в аспектах: сокращения количества пачек в сеансе обнаружения в широком диапазоне дальностей - в 2-3 раза по сравнению с типовым перебором частот повторения); расширения информативности сеанса за счет дальнометрии, точность которой позволяет исключить из циклограммы этап захвата (традиционно требующий не менее 8-10 пачек) или выполнить далее адаптивноробастный захват, также базирующийся на адаптивно-робастной редукции неоднозначности, с затратами не более 1-2 пачек импульсов.



## СПИСОК ЛИТЕРАТУРЫ

- 1. Справочник по радиолокации: Том 3 / под ред. М Сколника; пер. с анг. под общей ред. К.Н. Трофимова. М.: Сов. радио, 1978. 528 с.
- 2. Авиационные радиолокационные комплексы и системы / Дудник П. И. [и др.] М.: Изд. ВВИА им. проф. Н. Е. Жуковского, 2006. 1112 с.
- 3. *Коврегин В.Н., Коврегина Г.М.* Методы интегрированной дальнометрии в задачах радиолокационного захвата и сопровождения воздушных целей / В. Н. Коврегин, Г. М. Коврегина // Вопросы радиоэлектроники, серия: Радиолокационная техника. 2008. №1. с. 61-68.
- 4. *Kovregin V, Kovregina G*. Adaptive-robust methods for detecting, capturing and tracking hovering, low- and high-speed objects in integrated radar-inertial systems with quasi-continuous radiation // 28 th Saint Petersburg International Conference on Integrated Navigation Systems. 2021. Vol. 365 (1). P. 1-4. doi: 10.23919/ICINS43216.2021.
- 5. *Опенгейм* Э. Применение цифровой обработки сигналов / Э. Опенгейм; пер. с анг. под под ред. А.М. Рязанцева. Москва: Мир, 1980. 550 с.
- 6. *Вентиель Е. С.* Прикладные задачи теории вероятностей / Вентцель Е. С., Овчаров Л. А. М: Радио и связь, 1983. 416 с.
- 7. *Пат.* RU 2 697 509 C2. Способ обнаружения, измерения дальности и скорости низколетящей малоскоростной цели в импульсно-доплеровских радиолокационных станциях при высокой частоте повторения и инвертируемой линейной частотной модуляции / Коврегин В. Н., Коврегина Г. М. // Бюл. − 2019. № 23.

#### ИНФОРМАЦИЯ ОБ АВТОРАХ

# Коврегин Валерий Николаевич -

Доцент кафедры «Аэрокосмических измерительно-вычислительных комплексов» Санкт-Петербургский государственный университет аэрокосмического приборостроения, 190000, Россия, Санкт-Петербург, ул. Большая Морская, д. 67, лит. А E-mail: kovregin@mail.ru

#### Коврегина Галина Михайловна -

Доцент кафедры «Аэрокосмических измерительно-вычислительных комплексов» Санкт-Петербургский государственный университет аэрокосмического приборостроения, 190000, Россия, Санкт-Петербург, ул. Большая Морская, д. 67, лит. А E-mail: g kovregina@mail.ru

# INFORMATION ABOUT THE AUTHORS

#### Kovregin Valery Nikolaevich -

Docent of the Department of "Aerospace Measuring and Computing Complexes" St. Petersburg State University of Aerospace Instrumentation SUAI, 67, Bolshaya Morskaia str., Saint-Petersburg, 190000, Russia E-mail: kovregin@mail.ru

#### Kovrigina Galina Mikhailovna -

Docent of the Department of "Aerospace Measuring and Computing Complexes" St. Petersburg State University of Aerospace Instrumentation SUAI, 67, Bolshaya Morskaia str., Saint-Petersburg, 190000, Russia E-mail: g kovregina@mail.ru